



全品

基础 小练习

主编：肖德好



CONTENTS

【第一部分 考点专练】

第 1 练 经纬网与地图	1	第 25 练 海水性质	39
第 2 练 等高线地形图	3	第 26 练 海水运动	40
第 3 练 地形特征的描述	5	第 27 练 海—气相互作用	42
第 4 练 等值线图的判读	7	第 28 练 塑造地表形态的力量	43
第 5 练 地理图像绘制	9	第 29 练 构造地貌的形成	45
第 6 练 地球的宇宙环境	11	第 30 练 河流地貌	47
第 7 练 太阳对地球的影响	12	第 31 练 喀斯特地貌	49
第 8 练 地球的历史	14	第 32 练 风沙地貌	50
第 9 练 地球的圈层结构	15	第 33 练 海岸和冰川地貌	52
第 10 练 地球自转、公转的特点与地转偏向力	16	第 34 练 植被与土壤	53
第 11 练 晨昏线与时间计算	17	第 35 练 自然环境的整体性	55
第 12 练 昼夜长短的变化与计算	18	第 36 练 自然环境的地域差异性	57
第 13 练 正午太阳高度、四季与五带	19	第 37 练 地质灾害	59
第 14 练 太阳视运动	20	第 38 练 气象灾害与水文灾害	60
第 15 练 大气的组成与垂直分层	21	第 39 练 人口分布	62
第 16 练 大气受热过程	22	第 40 练 人口迁移	64
第 17 练 大气运动	24	第 41 练 人口容量	66
第 18 练 锋与天气	26	第 42 练 城乡空间结构	67
第 19 练 低气压（气旋）与高气压（反气旋）	28	第 43 练 城镇化	69
第 20 练 气压带和风带	30	第 44 练 地域文化与城乡景观	71
第 21 练 气温和降水	32	第 45 练 农业的区位因素及变化	72
第 22 练 气候类型与自然景观	34	第 46 练 工业的区位因素及变化	74
第 23 练 水循环与河流特征	35	第 47 练 服务业的区位因素及变化	76
第 24 练 陆地水体及其相互关系	37		

第 48 练 农业、工业、服务业区位条件的分析与评价	78	第 61 练 地区产业结构变化	99
第 49 练 交通运输布局与区域发展	80	第 62 练 流域内协调发展	101
第 50 练 人类面临的主要环境问题	82	第 63 练 资源跨区域调配	103
第 51 练 走向人地协调——可持续发展	83	第 64 练 产业转移与国际合作	105
第 52 练 中国国家发展战略	84	第 65 练 自然环境与人类社会	107
第 53 练 地理信息技术的应用	86	第 66 练 资源安全对国家安全的影响	108
第 54 练 多种多样的区域	87	第 67 练 中国的能源安全	110
第 55 练 区域整体性与关联性	88	第 68 练 中国的耕地资源与粮食安全	112
第 56 练 区域发展的自然环境基础	90	第 69 练 海洋空间资源开发与国家安全	114
第 57 练 生态脆弱区的综合治理	91	第 70 练 环境污染与国家安全	116
第 58 练 资源枯竭型城市的转型发展	93	第 71 练 生态保护与国家安全	118
第 59 练 区域环境的分析	95	第 72 练 全球气候变化与国家安全	120
第 60 练 城市的辐射功能	97	第 73 练 保障国家安全的资源、环境战略与行动	122

【第二部分 区域专练】

第 74 练 世界主要地区	123	第 77 练 中国南方地区	129
第 75 练 世界主要国家	125	第 78 练 中国西北地区	131
第 76 练 中国北方地区	127	第 79 练 中国青藏地区	133

【第三部分 整合专练】

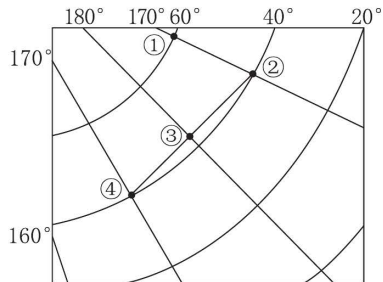
第 80 练 大气与环境	135	第 84 练 人口与城市	143
第 81 练 水体与环境	137	第 85 练 区域产业发展	145
第 82 练 地貌与环境	139	第 86 练 资源、环境与国家安全	147
第 83 练 自然环境的整体性与差异性	141		

第1练 经纬网与地图

(时间:30分钟)

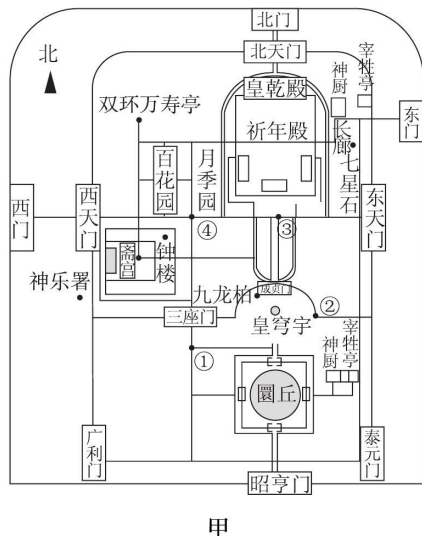
一、选择题

下图为南半球某区域经纬网图。据此完成1~2题。



1. 图中①地位于 ()
A. 东半球、南温带 B. 东半球、南寒带
C. 西半球、南温带 D. 西半球、南寒带
2. 一架飞机由②地起飞,途经③地后抵达④地,其飞行方向为 ()
A. 一直向西 B. 先向西北,后向西南
C. 一直向东 D. 先向东南,后向东北

某学校地理兴趣小组在国庆期间前往天坛公园进行地理实践活动。天坛公园占地面积约273万平方米。图甲为天坛公园平面图,图乙示意同学们为游客绘制的导览指示牌。读图完成3~5题。



乙

3. 若用11厘米边长的图幅制作天坛公园导游图,则该图的比例尺大约为 ()

- A. 1:22000 B. 1:10000
C. 1:2200 D. 1:1000

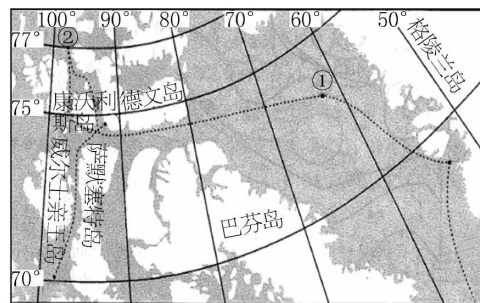
4. 图乙所示指示牌的位置大约在图甲中 ()

- A. ①处 B. ②处
C. ③处 D. ④处

5. 黄昏同学们从昭亨门出园时身影在其 ()

- A. 左前方 B. 左后方
C. 右前方 D. 右后方

某年,英国某探险队进行北极探险,旨在沿着加拿大北部海岸寻找通往太平洋的航道。下图示意探险队航行区域范围及可能走过的路线(虚线)。据此完成6~7题。(提示: $\cos 75^\circ \approx 0.259$)



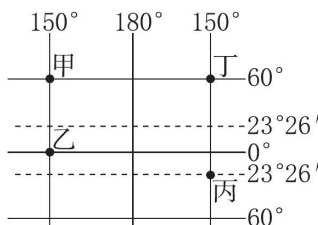
6. 图中①地到②地的航线长度约为 ()

- A. 880千米 B. 1070千米
C. 1170千米 D. 1370千米

7. 随着全球变暖,北极地区可能形成“通航大道”,受此挑战较大的是 ()

- ①苏伊士运河
②白令海峡
③土耳其海峡
④巴拿马运河
A. ①② B. ②③
C. ③④ D. ①④

读局部经纬网分布图,完成8~9题。

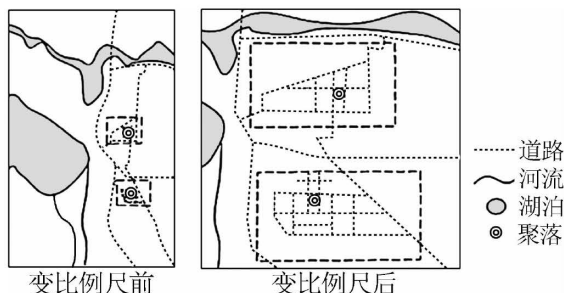


8. 有甲、乙、丙三架飞机同时从图示位置沿纬线飞往180°经线,且同时到达,速度最快的是 ()

- A. 甲 B. 乙 C. 丙 D. 乙和丙

9. 若甲飞机的时速为1110千米,且甲飞到 180° 经线后又继续飞往丁(沿纬线),下列说法正确的是()
- 甲飞机又回到了原出发点
 - 甲的经度为 150° E,丁的经度为 150° W,甲在丁的正东
 - 从甲到丁用了3小时
 - 甲、丁的地方时相同

对一幅地图中的部分区域采用变比例尺操作可以增强关键信息的表现效果。下图示意某地图变比例尺操作前后的差异。据此完成10~12题。



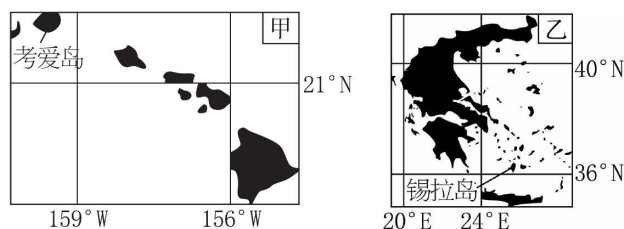
10. 与其他部位相比,变比例尺后的虚线框内()
- 比例尺缩小,内容更详细
 - 比例尺缩小,内容更省略
 - 比例尺放大,内容更详细
 - 比例尺放大,内容更省略
11. 推测该图变比例尺操作的主要原因是虚线框内()

- 生态环境好
 - 信息点数量多
 - 河湖水系多
 - 道路密度大
- A. ①③ B. ①④
C. ②③ D. ②④

12. 下列地图类型中,最适合采用变比例尺操作的是()

- 山区景点旅游地图
- 国家行政区划地图
- 石油勘探地质地图
- 历史朝代疆域地图

甲、乙两图分别示意夏威夷群岛中考爱岛和希腊的锡拉岛地理位置。据此完成13~14题。

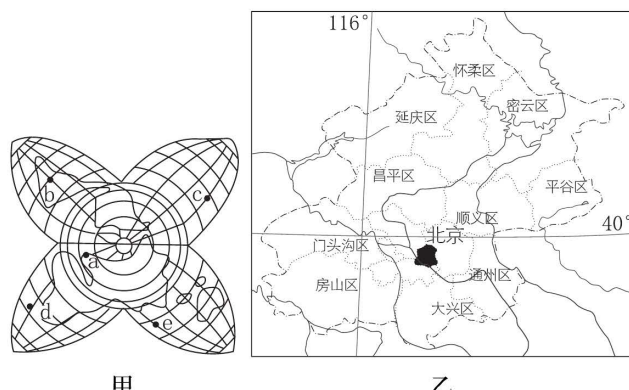


13. 与图甲相比,图乙()
- 比例尺大
 - 实地面积大
 - 图幅面积大
 - 内容详细
14. 锡拉岛位于考爱岛的()
- 西南方
 - 西北方
 - 东北方
 - 东南方

二、非选择题

15. (14分)阅读图文材料,完成下列问题。

图甲为地球星瓣图,图中a点为陆地相对集中的“陆半球”的极点(38° N, 0°),与该点相对的点为“水半球”的极点;图乙为北京市地理位置示意图。



- (1)指出“水半球”的极点及地理坐标,并计算“陆半球”的极点与该点之间的最短距离。(4分)

- (2)比较甲、乙两图比例尺的大小,并说明从a点沿最短飞行线路飞往北京的飞行方向。(4分)

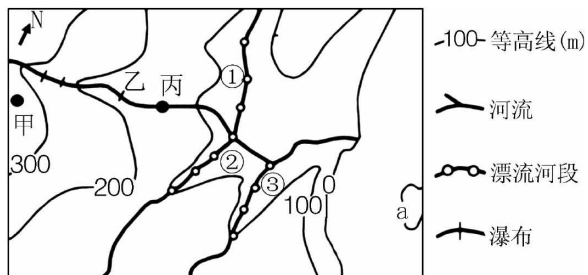
- (3)说明赤道上既位于“陆半球”又位于东半球的经度范围,并写出推理过程。(6分)

第2练 等高线地形图

(时间:30分钟)

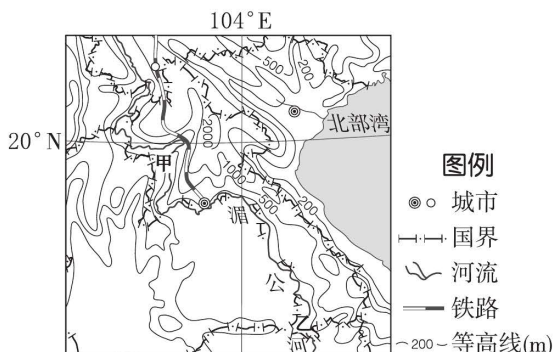
一、选择题

下图为我国东南海滨某地等高线图,该地因适合漂流运动且瀑布较多,成为著名的旅游观光地。图中乙瀑布落差为35米。据此完成1~3题。



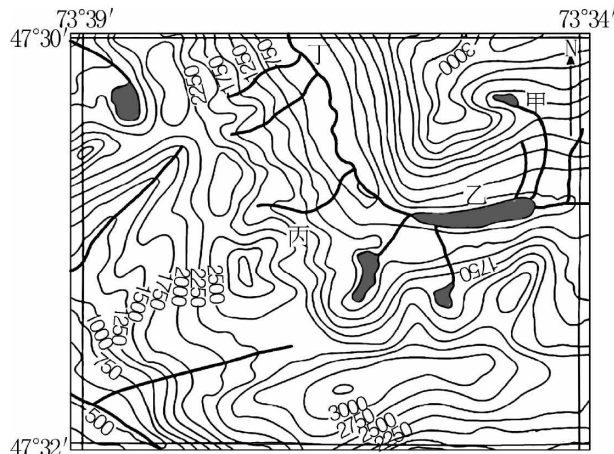
1. 甲、丙两地落差及等高线a的数值可能为 ()
A. 125米、0米 B. 125米、100米
C. 145米、0米 D. 145米、100米
2. 该地河流干流流向大致为 ()
A. 由西北向东南 B. 由东南向西北
C. 由东向西 D. 由西向东
3. 图中三个漂流河段平均流速由快到慢的排序是()
A. ①②③ B. ①③②
C. ③①② D. ③②①

下图为世界局部地区等高线地形图。据此完成4~5题。

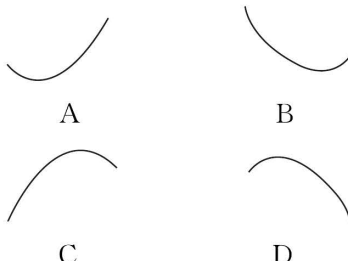


4. 图示地区北部的地形特征是 ()
A. 地势低平,平原沃野千里
B. 丘陵广布,地势起伏较小
C. 高原宽广,地面平坦
D. 山河相间,山高谷深
5. 与乙河段相比,甲河段 ()
A. 地势落差小,流速缓慢
B. 河道狭窄,滩险流急
C. 通航里程长,水运繁忙
D. 河道宽阔,水流平稳

下图为世界某区域等高线地形图(单位:米),该区域湖泊较多。据此完成6~8题。

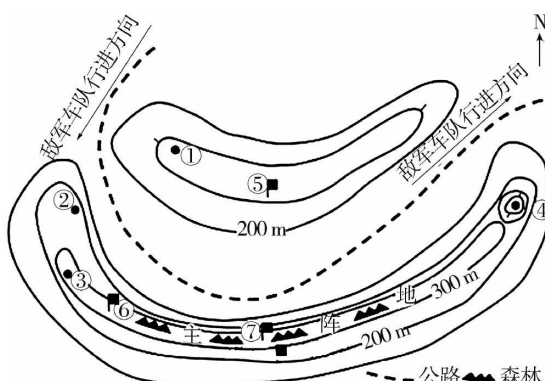


6. 图示区域有一主要分水岭,其走向大致为 ()



7. 图示区域5个湖泊(阴影部分)中,海拔最高的湖泊与海拔最低的湖泊高差可能是 ()
A. 750米 B. 1000米
C. 1250米 D. 1500米
8. 该区域最可能出现乱石滩的地点是 ()
A. 甲 B. 乙
C. 丙 D. 丁

下图为第二次世界大战时欧洲西部某次战役使用的等高线作战图。主阵地负责伏击敌军,前沿观察哨负责快速发现敌军,用无线电向指挥部汇报位置,开战后需安全地撤回主阵地协同作战。指挥部负责指挥全局,为前后方通信枢纽,且有一定的后勤、医疗功能。据此完成9~10题。



9. 最佳的前沿观察哨和指挥部位置分别是 ()

- A. ①地和⑤地 B. ②地和⑥地
C. ③地和⑦地 D. ④地和⑧地

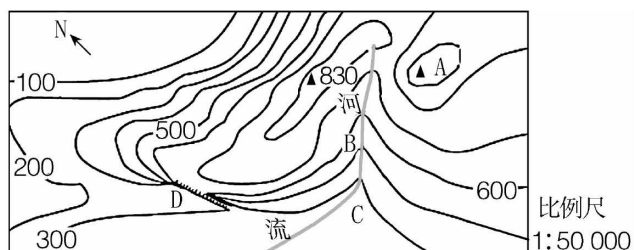
10. 伏击主阵地的布置主要考虑 ()

- I. 公路拐弯,车速较慢 II. 陡坡凸坡,易守难攻
III. 坡度平缓,易于出击 IV. 森林较密,利于隐蔽

- A. I、II B. II、III

- C. I、IV D. II、IV

下图是某区域等高线示意图(单位:米)。根据图示信息,回答11~12题。



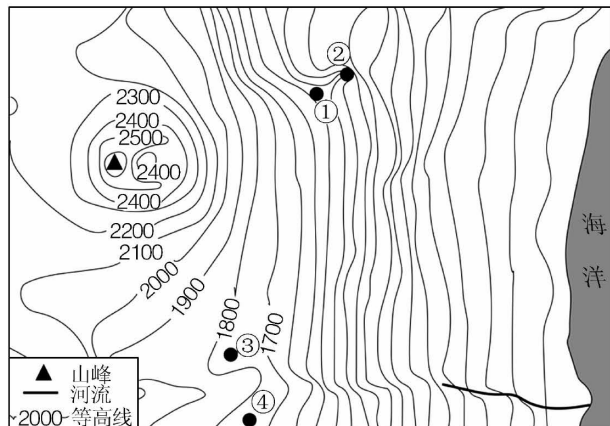
11. 山顶A的海拔和陡崖D的相对高度组合正确的是 ()

- A. 990米、301米 B. 950米、201米
C. 850米、499米 D. 799米、501米

12. 下列说法正确的是 ()

- A. 河流先向南流,再向西南流
B. 若两山顶间建游览索道,其长度应不小于750米
C. 陡崖处可观赏到瀑布景观
D. B地可见“V”形峡谷,C地可见三角洲

下图示意某岛屿最高峰附近等高线(单位:米)分布。完成13~14题。



13. 图示河流落差范围H可能是 ()

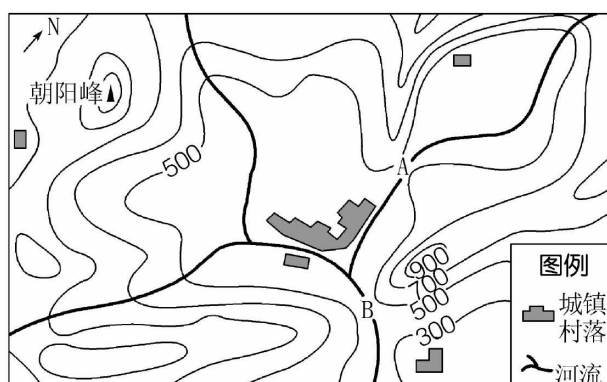
- A. $500 < H < 600$ B. $500 \leq H \leq 600$
C. $450 < H < 550$ D. $600 < H < 700$

14. 该岛屿内 ()

- A. 最高峰大于2450米,小于2600米
B. ①②点沿线可能发育有小溪
C. ③④点之间可以相互通视
D. 山顶附近可能有一火山口景观

二、非选择题

15. (16分)读我国某区域等高线(单位:米)地形图,回答下列问题。



(1) 描述图示区域内的地形、地势特征。(5分)

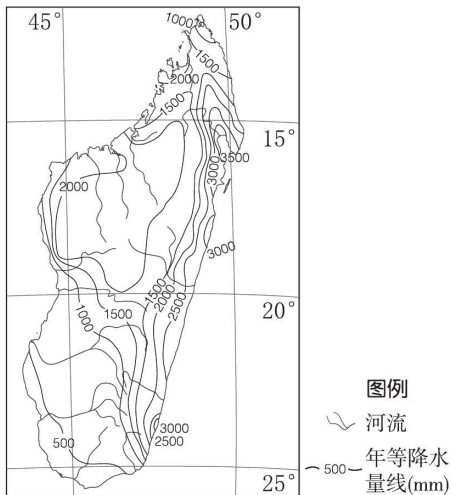
(2) 当地人们用石头垒起石堰,堰内下层垫石块,表层填土,建造梯田。解析该地修建石堰梯田的原因。(5分)

(3) 当地拟修建一座水库,其坝顶海拔为500米,水库坝址有A处和B处两个选择方案。请选择其中一个方案简述其主要的利与弊。(6分)

第3练 地形特征的描述

(时间:30分钟)

1. (18分)下图为马达加斯加岛年降水量分布图。据此回答下列问题。



图例
河流
年等降水量线(mm)

- (1)据图推断马达加斯加岛的地形特征,并说明判断依据。(6分)

马达加斯加岛地处低纬地区,易受热带气旋侵袭,导致人员伤亡、财产损失等。

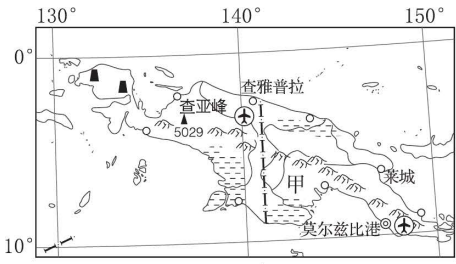
- (2)说明热带气旋形成过程中海气之间水热交换的主要表现。(6分)

- (3)说出地理信息技术在防灾减灾中发挥的作用。(6分)

2. (17分)阅读图文材料,完成下列要求。

新几内亚岛(如图)是世界上海拔最高的岛屿,大部分地区海拔都在4000米以上,最高峰查亚峰海拔5029米。在中部山脊的南北两侧有宽窄不一的沿海平原,多港湾。全岛不少山峰都是死火山锥,部分山区还会发生火山喷发,并可能伴随地震。巴布亚新几内亚面积为46.28万平方千米,人口密度只有

20人/千米²。岛上最长的河流是塞皮克河,长度达到了1126千米。图中甲河是该区第二长河弗莱河,干流长1050千米,它的下游流经沼泽平原,最后流入巴布亚湾。



图例
○○城市
—国界
▲▲山峰及高程(m)
例
河流
石油
机场
山脉
沼泽

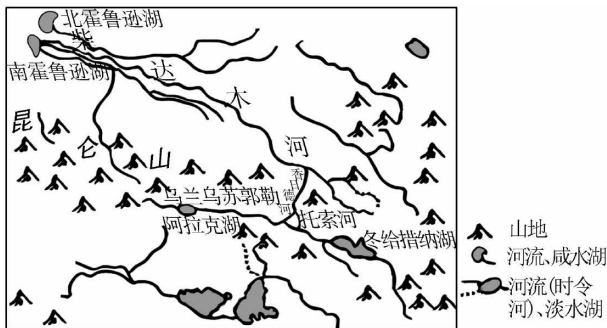
- (1)简述新几内亚岛的地形特征。(5分)

- (2)评价该区域河流的航运条件。(7分)

- (3)请用整体性原理分析甲河上游植被破坏对河口地区自然环境的影响。(5分)

3. (19分)阅读图文材料,完成下列要求。

柴达木盆地是我国海拔最高的盆地,四周被高大山地包围,其中乌兰乌苏郭勒附近山地红层地貌广布,盆地气候极端干旱,盐湖众多。柴达木河位于盆地最东部,上游托索河和乌兰乌苏郭勒江汇合后形成中游香日德河,最后向西汇入霍鲁逊湖。香日德河是一条富有观赏价值的红水河,成为旅游打卡圣地“红河谷”。香日德河平常呈淡红色,一到夏季,河流变成鲜红色,并在交汇处形成鲜明的“红配绿”河流景观。下图为柴达木河水系图。



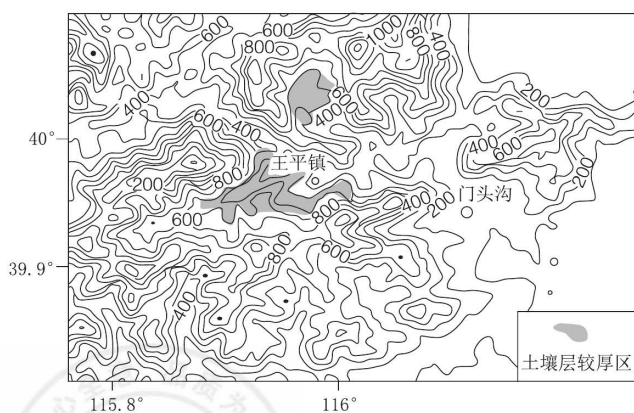
(1) 简述柴达木河流域的地形特征。(5分)

(2) 比较柴达木河流域湖泊性质的差异，并分析原因。(8分)

(3) 香日德河夏季河水颜色变鲜红，请给出合理解释。(6分)

4. (14分) 阅读图文材料，完成下列要求。

门头沟位于北京市西部，为华北平原向内蒙古高原过渡地带，地势险要，“东望都邑，西走塞上而通大漠”，自古为兵家必争之地。下图示意门头沟及其周边地区的等高线(单位：米)分布。



(1) 指出图示地区的地形特征。(6分)

(2) 分析图示土壤层较厚区的形成原因。(4分)

(3) 说明门头沟地形特征对城镇分布的影响。(4分)

5. (10分) 阅读图文材料，回答问题。

甲国面积约13万平方千米，其中15%为岛屿，海岸线长约1.5万千米，人口约1072万(2020年)。该国境内喀斯特地貌广布，水资源时空分布不均且制约经济社会发展，为此，该国实施西水东调工程。

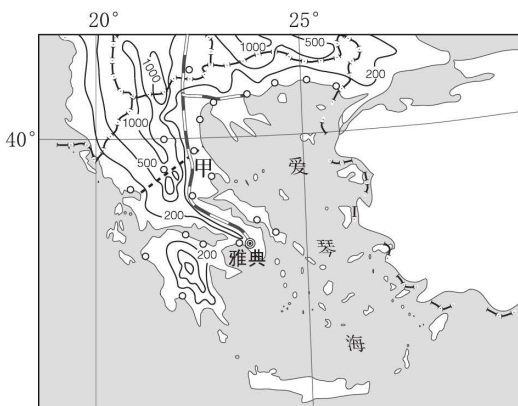


图 ①城市 —— 国界 —— 铁路 ---- 西水东调线
例 ~500~ 等高线(m)

甲国及附近地理简图

(1) 描述该国的地形地势特征。(5分)

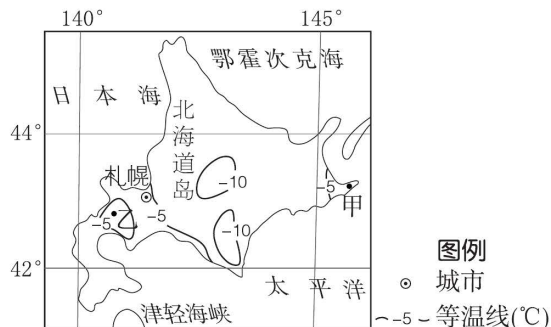
(2) 说明该国城市的分布特征。(3分)

(3) 分析该国实施西水东调工程的社会经济原因。(2分)

第4练 等值线图的判读

(时间:30分钟)

太阳直射点向哪个半球移动,哪个半球昼变长,夜变短,且纬度越高,昼夜长短变化幅度越大。下图为日本北海道岛1月气温分布图。据此完成1~3题。



1. 与同纬度岛上的其他地方相比,甲地1月平均气温偏高,主要是由于 ()

- A. 地势较低,海洋调节
- B. 暖流影响,增温增湿
- C. 降水较多,大气保温
- D. 植被茂密,蒸发量大

2. 图中乙地1月平均气温 ()

- A. 高于0°C
- B. 等于0°C
- C. 高于-5°C
- D. 低于-5°C

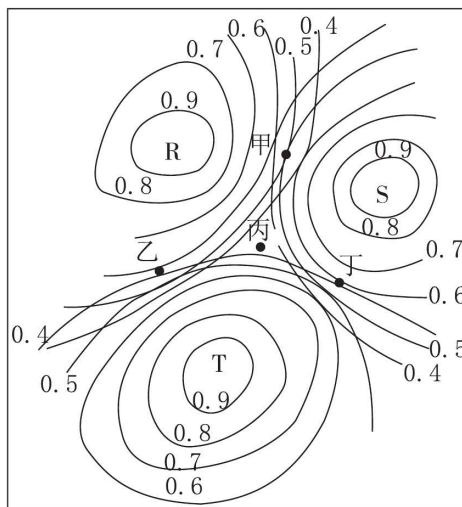
3. 北海道岛等温线多为闭合状态,说明该岛屿 ()

- A. 平原面积大
- B. 山地地形多
- C. 以盆地为主
- D. 高原地势缓

在大城市,某种商品的同一购物半径内往往出现多个超市购物地,这时消费者选择的购物超市具有随机性。科学家经过实际研究后证实了这种随机性的存在,并构建了购买概率等值线模型。下图是R、S、T三家超市的购买概率等值线模型图,概率为0.5的等值线交点表示无差别地点,即该点在两个超市的购买概率相等。据此回答4~5题。

4. 丁地李先生在T、S超市中,平时更愿意去T超市,原因可能是 ()

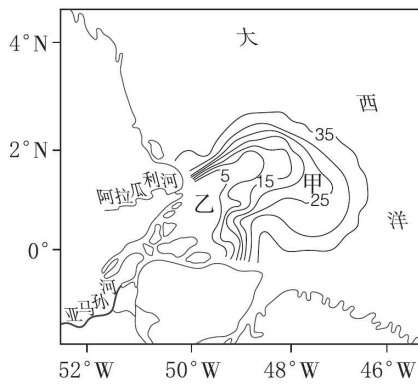
- ①消费者习惯
 - ②距离超市远近
 - ③交通便利度
 - ④超市服务水平
- A. ①②③
 - B. ①②④
 - C. ②③④
 - D. ①③④



5. 随着经济的发展,某投资者计划在该区域再建一家超市,最佳选址是 ()

- A. 甲
- B. 乙
- C. 丙
- D. 丁

亚马孙河位于南美洲北部,是世界上径流量最大的河流。近几年,亚马孙河河口附近的阿拉瓜利河河口附近河道出现大量咸水鱼,淡水鱼虾变少。下图为亚马孙河河口位置及河口盐度等值线分布图。据此完成6~7题。



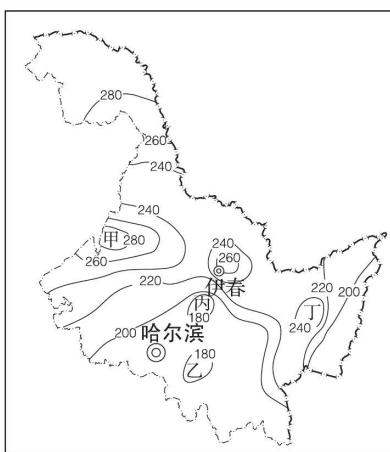
6. 造成图中甲、乙海水盐度差异的主要因素是 ()

- A. 洋流性质
- B. 海水温度
- C. 陆地径流
- D. 泥沙含量

7. 近年来,阿拉瓜利河河口附近河道出现大量咸水鱼,主要是由于 ()

- A. 河流水量增大,鱼类饵料增多
- B. 全球气候变暖,海平面上升
- C. 海洋鱼类迁徙到河流,洄游产卵
- D. 河口泥沙淤积严重,盐度增大

黑龙江省地处我国东北部,是我国位置最北、最东的省级行政区,同时拥有多年冻土区和季节性冻土区。研究发现,近年来黑龙江冻土深度呈减小趋势。下图示意黑龙江季节性冻土最大深度等值线分布(单位:厘米)。据此完成8~10题。



8. 图中季节性冻土深度最大的地点是 ()

- A. 甲 B. 乙
C. 丙 D. 丁

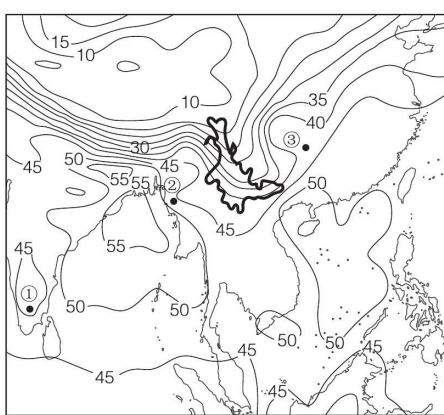
9. 影响伊春附近季节性冻土深度等值线弯曲闭合的主要因素是 ()

- A. 纬度 B. 降水
C. 地形 D. 湿度

10. 黑龙江冻土深度减小可能会使 ()

- A. 土壤含水量增大
B. 沼泽湿地萎缩
C. 植被覆盖率提高
D. 局地气候变暖

可降水量是指从地面到大气顶界的单位面积大气柱中所含水汽全部凝结并降落到地面可以产生的降水量。下图是夏季(6—8月)亚洲部分地区可降水量等值线分布图。据此完成11~13题。



图例 —45— 可降水量线(mm) ◉ M区

11. ①地可降水量的数值可能是 ()

- A. 40毫米 B. 43毫米
C. 48毫米 D. 50毫米

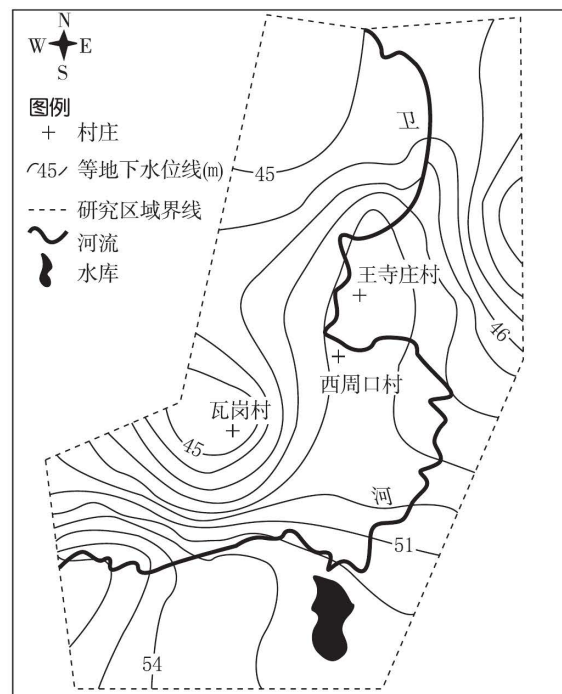
12. 影响②③两地所在区域可降水量等值线递变规律的分别是 ()

- A. 西南季风、东南季风
B. 东南季风、西南季风
C. 东北季风、西北季风
D. 西北季风、东南季风

13. M区可降水量等值线走向与周边不同,其主要原因是 ()

- A. 深居内陆,水汽较少
B. 植被茂密,蒸腾强烈
C. 大河流经,蒸发旺盛
D. 纵向山岭,阻挡水汽

卫河是我国海河水系支流,发源于山西太行山脉,流至天津后汇入海河。下图为卫河流域部分地区等地下水位线(是指地下水位标高相等的各点所连成的闭合曲线)分布图。据此完成14~15题。



14. 图示卫河河段的流向大致为 ()

- A. 自南向北
B. 自北向南
C. 自西向东
D. 自东南向西北

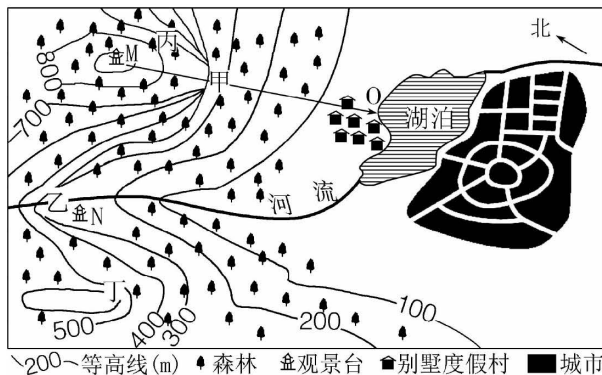
15. 瓦岗村等地下水位线分布特点的成因主要是 ()

- A. 地势相对较高
B. 植被覆盖率偏低
C. 降水量不足
D. 大量抽取地下水

第5练 地理图像绘制

(时间:30分钟)

1. (14分)我国南方某市为了发展旅游经济,市规划局计划在本市某处进行旅游开发建设。读该地区旅游规划图,思考探究下列问题。

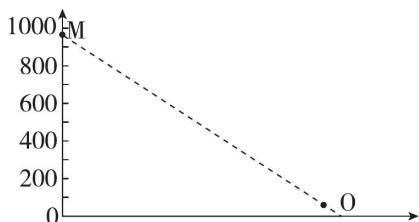


- (1)简述图示地区的地形特点。(4分)

- (2)乙河段河流流向是_____。(2分)

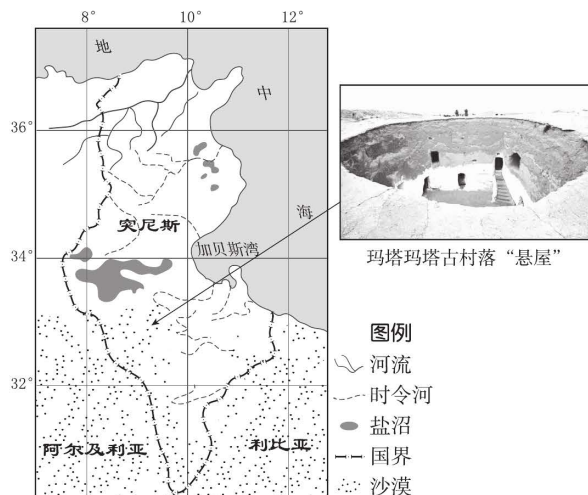
- (3)图中甲处陡崖的相对高度(H)是_____。(2分)

- (4)在观景台M能否观赏到山下的湖泊全景?请在下图中作出剖面图并简单说明理由。(6分)



2. (14分)读图文材料,回答下列问题。

突尼斯兼具非洲、阿拉伯和地中海三重属性,拥有古老文明。下图为突尼斯简图及玛塔玛塔古村落“悬屋”景观图。



突尼斯东南部年降水量仅200毫米左右,蚕豆为当地传统农作物。过去,当地农民直接抽取浅层地下水进行随机灌溉。为提高蚕豆产量,降低对土壤的破坏,近年来开展了不同灌溉模式下蚕豆产量和土壤含盐量的研究,并得到下表数据。

灌溉模式	蚕豆产量 (吨/年)	土壤含盐量 (电导率 dS/m)
100%足额灌溉	19.9	4.2
70%亏水灌溉	18.6	4.4
40%亏水灌溉	15.9	5.3
传统随机灌溉	15.8	5.5

注:100%足额灌溉是指灌溉水量达到蚕豆蒸腾耗水量的100%,70%亏水灌溉是指仅提供相当于蚕豆蒸腾耗水量70%的灌溉水量,以此类推。

- (1)绘制不同灌溉模式下蚕豆产量和土壤含盐量的统计图,为该地区选择综合效益最好的灌溉模式,并说明理由。(8分)

玛塔玛塔古村落仿佛隐形于沙漠之中,地面上并没有任何建筑耸立,而是一个又一个大坑分布其中。这些凹陷的坑洞直径十米左右,深则六七米。一个个小的窑洞镶嵌在大洞的四壁,形成悬空于地面和洞底之间的“悬屋”。

(2)说明玛塔玛塔古村落“悬屋”建筑特点的成因。

(6分)

3. (12分)阅读图文材料,完成下列要求。

马赛人是东非高原著名的游牧民族,主要分布在肯尼亚南部及坦桑尼亚北部,红色披风是其标志性装束。数百年来,马赛人根据当地自然环境的季节变化迁徙与游牧,与大自然和谐共处。20世纪中叶,两国政府在马赛人游牧区内相继建立塞伦盖蒂、马萨伊马拉等国家公园。国家公园建设需要从土著手中征地,建成之后除了旅游和研究外,人类活动受到严格限制,保留在国家公园内的马赛人生存环境发生了很大改变。图甲示意马赛人放牧景观,图乙为马赛人游牧路线示意图。

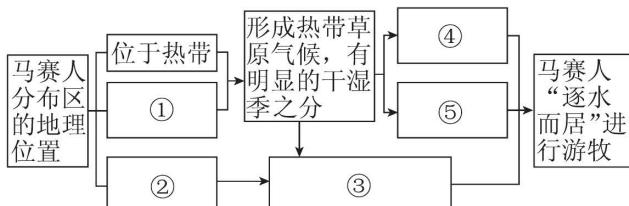


甲



乙

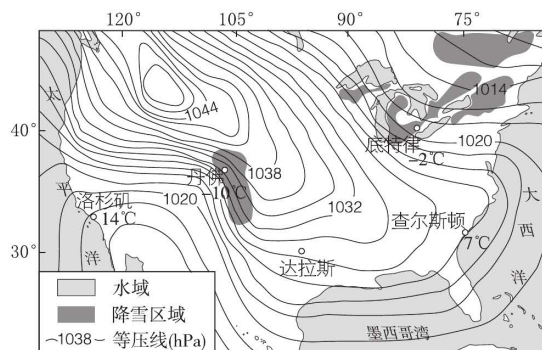
(1)在图乙中的相应位置绘制箭头以表示马赛人游牧的迁移方向,并完善下面的思维导图。(6分)



(2)简述在国家公园内保留马赛人游牧生产方式的必要性。(6分)

4. (18分)阅读图文材料,完成下列要求。

2022年11月中旬,美国多地雨雪连绵。11月16日开始,美国本土东北部多地普降大雪,围绕五大湖地区的各州刷新多项降雪纪录,并造成交通瘫痪、基础设施损坏等。有专家分析,“大湖效应”对五大湖地区暴雪起了重要作用。下图为2022年11月18日某时刻北美洲部分地区地面天气简图。图示时刻,丹佛的风速比底特律小。



(1)分析造成洛杉矶与查尔斯顿气温差异的主要原因。(6分)

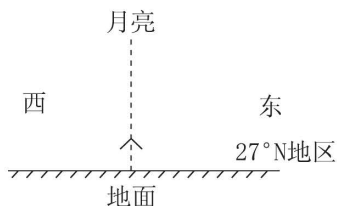
(2)结合所学知识分析丹佛风速比底特律小的原因,并在图中绘出底特律的风向。(6分)

(3)说明底特律在“大湖效应”影响下,此次降雪的形成过程。(6分)

第6练 地球的宇宙环境

(时间:15分钟)

2023年1月7日午夜时分,位于我国约27°N地区的民众目睹到大约18年才出现一次的“头上有明月,脚下无暗影”的有趣景象。月亮高悬在当地公众的头顶,月光垂直照射地面,呈现“月心、人心、地心,三心一线”的奇观。据此完成1~3题。



1. 下列位于北纬27°的地区看到“三心一线”现象先后顺序正确的是 ()

- A. 湖南衡阳、福建建瓯、云南丽江
- B. 云南丽江、湖南衡阳、福建建瓯
- C. 福建建瓯、湖南衡阳、云南丽江
- D. 福建建瓯、云南丽江、湖南衡阳

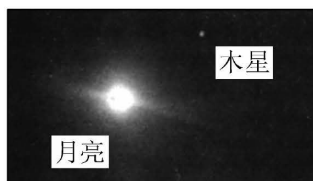
2. 该日民众看到的月相最接近 ()

- A. 满月
- B. 上弦月
- C. 新月
- D. 下弦月

3. 该日广州地区月亮升到最高处时方位大致在 ()

- A. 东边地平线附近天空
- B. 西边地平线附近天空
- C. 南边头顶附近天空
- D. 北边头顶附近天空

木星是太阳系最大的一颗行星,是除金星之外天上最亮的星星(只有个别时候火星会比它亮)。2022年10月9日(农历壬寅年九月十四)21时许,有人在夜空中拍摄到了“木星伴月”天象(如下图)。据此完成4~6题。



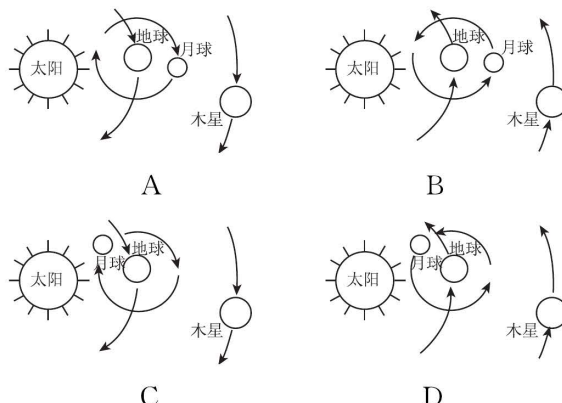
4. 下列关于木星和月球两大天体的叙述,正确的是 ()

- A. 木星是太阳系的一颗远日行星,距离地球很远
- B. 木星公转速度快,其绕日公转的周期比地球短
- C. 月球绕地球公转,是地球唯一的一颗天然卫星
- D. 由于质量很小,无引力,所以月球上没有大气

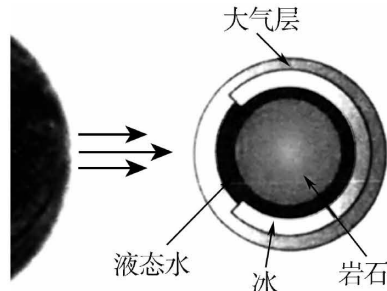
5. 下列关于该日“木星伴月”天象的解读,不正确的是 ()

- A. 由于木星距离地球比月球距离地球远,所以木星看上去比月亮小得多
- B. 由于该日接近“望”日,所以月亮看起来很大很亮
- C. 因为木星距离月球很近,所以可以欣赏到“木星伴月”天象
- D. 在高海拔地区晴朗的夜晚,观测“木星伴月”可能会更清晰

6. 下面为某同学绘制的当日从北极上空看到的太阳、地球、月球和木星的相对位置示意图,图中箭头指向为该天体公转方向。其中,绘制正确的是 ()



当某星球被其主恒星“锁定”,意味着这颗星球一面一直朝向恒星,而另一面则一直背对恒星。由于其形状酷似眼珠,被形象地称为“眼珠星球”(如下图)。“眼珠星球”为寻找地外生命开辟了新思路。据此完成7~8题。



7. 关于“眼珠星球”,下列说法正确的是 ()

- A. 图中主恒星指的是太阳
- B. 地球不属于“眼珠星球”
- C. “眼珠星球”不属于行星
- D. “眼珠星球”没有自转运动

8. “眼珠星球”可能存在生命,根本在于 ()

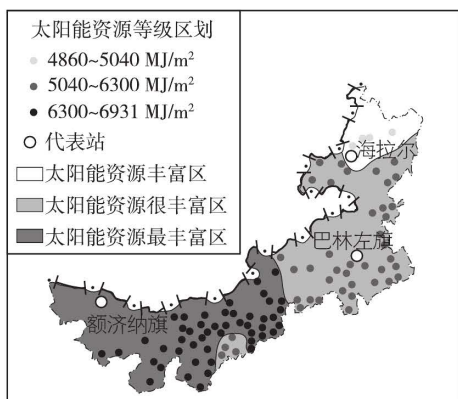
- A. 适宜的温度
- B. 肥沃的土壤
- C. 适宜的大气
- D. 安全的宇宙环境

第7练 太阳对地球的影响

(时间:30分钟)

一、选择题

内蒙古自治区太阳能总辐射量为 $4860\sim6931\text{兆焦}/\text{米}^2$,太阳能资源非常丰富。下图示意1961—2017年内蒙古自治区平均太阳辐射空间分布。据此完成1~2题。



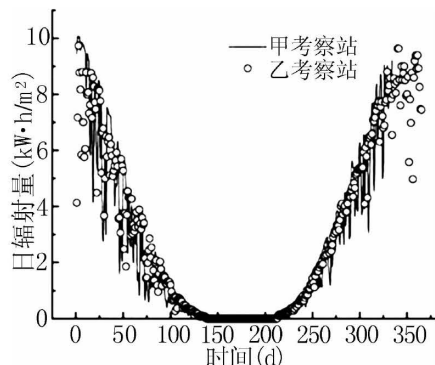
1. 1961—2017年,内蒙古自治区平均太阳辐射空间分布的特征大致是()

- A. 东北少,西南多
- B. 东北多,西南少
- C. 南多北少
- D. 分布均匀

2. 下列因素与内蒙古自治区太阳辐射的关系最合理的是()

- A. 植被覆盖度越高,太阳辐射越强
- B. 纬度越高,太阳辐射越强
- C. 空气质量指数越高,太阳辐射越弱
- D. 风速越小,太阳辐射越强

下图示意纬度相当的甲、乙两极地考察站太阳辐射量自1月1日开始的逐日变化情况对比。据此完成3~4题。



3. 推测甲考察站为()

- A. 长城站($62^{\circ}13'S$)
- B. 中山站($69^{\circ}22'S$)

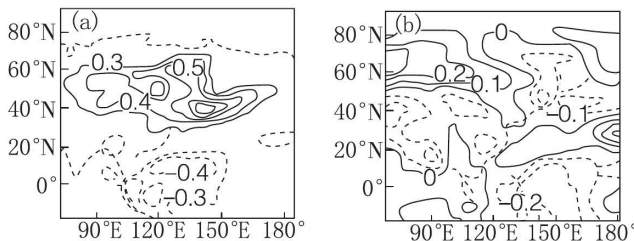
C. 黄河站($78^{\circ}55'N$)

D. 阿蒙森—斯科特站($89^{\circ}59'S$)

4. 同一日,甲、乙两站太阳辐射量出现较大差异,主要原因是出现()

- A. 气温差异
- B. 浓雾天气
- C. 沙尘天气
- D. 暴风雪天气

图(a)、图(b)分别表示强太阳活动和弱太阳活动时亚洲部分地区冬季平均气温与太阳活动强弱的关系系数,图中正值表示正相关,负值表示负相关。据此完成5~6题。



5. 强太阳活动和弱太阳活动之间的平均时间间隔为()

- A. 5~6年
- B. 7~8年
- C. 10~11年
- D. 15~16年

6. 强太阳活动时()

- A. 东亚地区冬季平均气温为亚洲最高值
- B. 东南亚地区冬季平均气温为亚洲最低值
- C. 日本北部冬季气温随太阳活动增强而上升
- D. 我国各地区冬季气温均随太阳活动增强而上升

2022年4月16日“神舟十三号”载人飞船返回舱在东风着陆场成功着陆,标志着中国又一载人航天任务完满结束。灾害性的空间天气会对航天、卫星、通信、导航活动产生直接影响。国家空间天气监测预警中心为航天器发射及在轨运行提供空间天气预报及影响评估服务。空间天气的研究对象是地球表面20千米以上的空间领域,主要包括日地空间的太阳日冕、行星际、磁层、电离层和中高层大气等。据此完成7~8题。

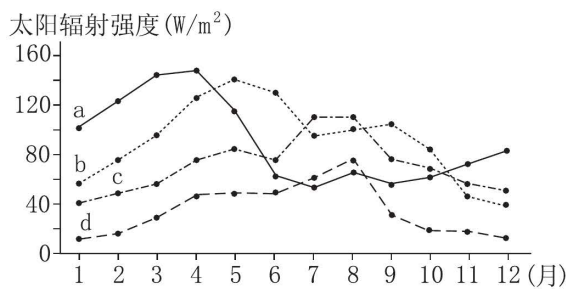
7. 最可能对卫星导航活动产生干扰的现象是()

- A. 太阳辐射增强
- B. 地球磁场变化
- C. 太阳耀斑爆发
- D. 太阳黑子减弱

8. 以下不属于国家空间天气监测预警中心的主要职责的是 ()

- A. 预报出舱时间窗口,保障航天员出舱安全
- B. 观测太阳日冕活动,保障电子元件少受干扰
- C. 监测太空飞行碎片,保障航天器安全运行
- D. 预测近地面风向风速,保障返回舱准确着陆

下图示意某年天津、苏州、重庆和大理四城市太阳辐射强度变化曲线。据此完成 9~11 题。



9. a、b、c、d 对应的城市分别是 ()

- A. 重庆、苏州、大理、天津
- B. 天津、大理、苏州、重庆
- C. 大理、天津、重庆、苏州
- D. 苏州、重庆、天津、大理

10. 该年 c 城市最大太阳辐射强度出现在 7—8 月,其根本原因是受 ()

- A. 副极地低压带控制
- B. 东北信风控制
- C. 副热带高压带控制
- D. 东南信风控制

11. a、b、c、d 四城市年太阳辐射强度变化与全球年太阳辐射变化规律差异最大的城市是 ()

- A. a
- B. b
- C. c
- D. d

地球南北两极地区的极光是指来自太阳大气的高速带电粒子与地球高层大气中的原子碰撞产生的发光现象。多年的观察和统计发现,极光平均每年出现的频次随纬度而变化,出现频次最大值在纬度 $65^{\circ}\sim70^{\circ}$,这一纬度带叫作极光椭圆带,昼夜半球各一部分。上图为多年来观测的夜半球极光椭圆带部分的统计位形图(图中数值分别为时间与纬度)。据此完成 12~13 题。

12. 地球南北两极地区的极光出现较多的主要原因是 ()

- A. 空气密度较大
- B. 对流运动较弱
- C. 磁场作用强烈
- D. 昼夜变化较大

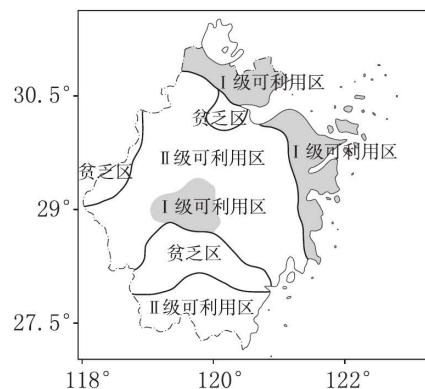
13. 与夜半球极光椭圆带相比,昼半球极光椭圆带可能 ()

- A. 分布纬度更高
- B. 南北宽度更大
- C. 距离极点更远
- D. 极光亮度更亮

二、非选择题

14. (12 分)阅读图文材料,完成下列要求。

浙江省太阳能资源空间分布总体上可以划分为 3 个分区,各分区资源量差异明显。浙东北的平原地带为 I 级可利用区,也是全省太阳能资源最丰富的地区,浙南的中部丘陵地带和浙西的西部山区为贫乏区。浙江省中北部太阳总辐射的月际变化多为双峰型,7 月出现一次高值,5 月出现一个次高值,而 6 月则为一相对低值。下图示意浙江省太阳能资源区划。



(1)简述浙江省太阳能资源的分布特征。(4 分)

(2)说明浙江省太阳能资源贫乏区的形成原因。(4 分)

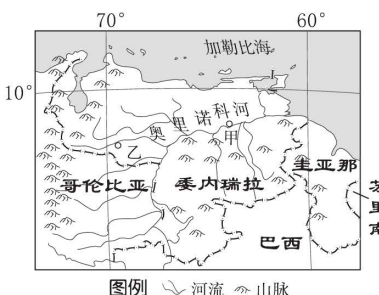
(3)分析浙江省中北部 7 月太阳总辐射为高值的形成原因。(4 分)

第74练 世界主要地区

(时间:30分钟)

一、选择题

奥里诺科河(如下图)是南美洲重要的河流,全年水位变化大,流域内大部分地区湿季在4—9月,10月至次年3月为干季。甲河段一年有两次沙峰。汛期时河水倒灌进入乙支流。据此完成1~3题。



图例 河流 山脉

1. 汛期时河水倒灌进入乙支流的原因正确的是()

- A. 汛期乙支流与干流比降增大
- B. 下游水量大,流速快
- C. 下游地势低平,水流不畅,干流顶托
- D. 下游干流泥沙淤积严重

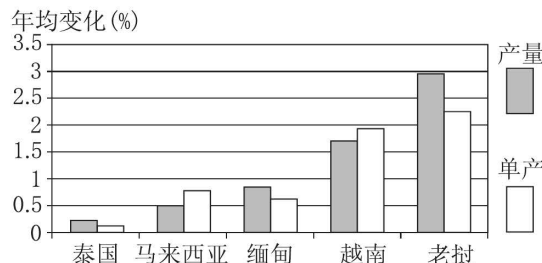
2. 甲河段两次沙峰的泥沙来源分别是()

- A. 干流洪水挟带、南侧山地水土流失
- B. 干流洪水挟带、海水顶托
- C. 南侧山地水土流失、海水顶托
- D. 干流洪水挟带、支流退水输送

3. 甲水文站测得奥里诺科河含沙量逐渐变小的时间段是()

- A. 1—3月
- B. 5—7月
- C. 7—9月
- D. 9—11月

中南半岛是世界上稻米的主要产区之一,其中泰国香米知名度最高。下图为2001—2020年中南半岛主要稻米生产国稻米产量和单产年均变化统计图。据此完成4~6题。



4. 2001—2020年中南半岛主要稻米生产国中()

- A. 泰国稻米单产最低
- B. 越南稻米种植面积缩小
- C. 老挝稻米总产量最高
- D. 缅甸稻米品质提高快

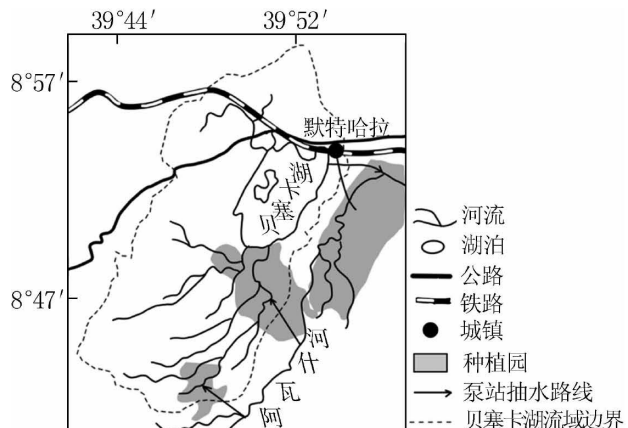
5. 中南半岛种植水稻的主要优势是()

- A. 以平原为主,土壤较肥沃
- B. 全年高温多雨,气候适宜
- C. 迁入人口多,稻米需求多
- D. 劳动力充足,且经验丰富

6. 老挝水稻种植业的最优发展方向是()

- A. 继续扩大水稻种植面积
- B. 树立优质稻米品牌
- C. 大量使用化肥,提高单产
- D. 人工除虫,提升品质

贝塞卡湖是位于东非大裂谷带上的构造湖,与阿瓦什河相隔低矮的分水岭。1964年,区域内开辟了三处甘蔗种植园,在阿瓦什河上建泵站抽水漫灌。2000年后,贝塞卡湖东北部修建了多座泵站,抽水排入阿瓦什河。下图示意贝塞卡湖流域的水系和种植园分布。据此完成7~9题。



7. 贝塞卡湖流域位于()

- A. 刚果盆地
- B. 撒哈拉沙漠
- C. 南非高原
- D. 埃塞俄比亚高原

8. 2000年之前,种植园从阿瓦什河引水,可能导致贝塞卡湖()

- A. 水位上升,盐度上升
- B. 水位上升,盐度下降
- C. 水位下降,盐度上升
- D. 水位下降,盐度下降

9. 贝塞卡湖东北部修建多座泵站,考虑的原因有()

- ①加快湖水自净 ②输水距离最短 ③全程自流引水 ④便于泵站管理
- A. ①②
- B. ①④
- C. ②③
- D. ③④

波罗的海位于北欧,是世界上盐度最低的海,海水易结冰,其表层海水形成环流。下图示意波罗的海位置。据此完成10~11题。



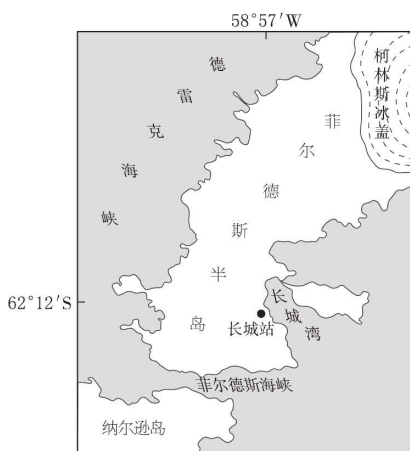
10. 图中冰封期最长的海域是 ()

- A. 甲 B. 乙 C. 丙 D. 丁

11. 波罗的海表层环流方向及其形成因素是 ()

- A. 逆时针、极地东风
B. 逆时针、极地东风与盛行西风
C. 顺时针、盛行西风
D. 顺时针、极地东风与盛行西风

菲尔德斯半岛位于南极乔治王岛，是南极最湿润的地方，南部的菲尔德斯海峡海浪大。柯林斯冰盖位于乔治王岛上，面积 1250 平方千米，平均厚度约 200 米。我国在南极建立的第一个科学考察站——长城站，位于菲尔德斯半岛。据此完成 12~14 题。



12. 菲尔德斯海峡海浪大的原因可能是 ()

- A. 地壳运动活跃 B. 西风漂流势力强
C. 海域结冰期短 D. 狹管效应显著

13. 近年来，柯林斯冰盖面积 ()

- A. 不断缩小 B. 先减后增
C. 不断增大 D. 保持不变

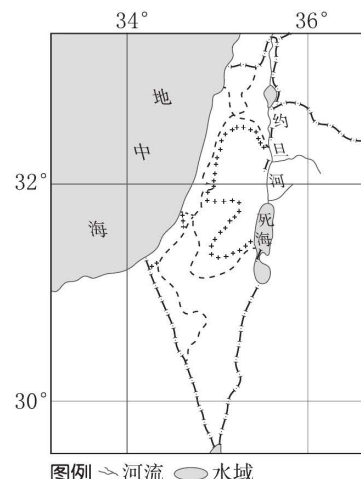
14. 南极长城站选址建站，主要考量的是 ()

- ①沿海地形平坦 ②年均气温高于 0℃ ③生物资源丰富 ④出现极夜时间短
A. ①② B. ①③ C. ②④ D. ③④

二、非选择题

15. (16 分) 阅读图文材料，完成下列要求。

死海(如下图)位于东非裂谷带的北端，湖水中富含钾盐等化学物质，湖床上沉积盐层厚度有十几米。湖盐化工是死海沿岸地区的重要产业部门之一。20世纪80年代以来，死海面积大幅萎缩，水位下降超过30米，裸露的湖床上常可见深度有数米的“地沉坑”(表面盐层溶解后进一步发育形成的地下坑洞)。



(1)用箭头在图中死海两侧画出板块运动的方向，并指出此处板块边界的类型。(4分)

(2)从地下水与湖泊水联系的角度，说明死海湖床上“地沉坑”的形成过程。(6分)

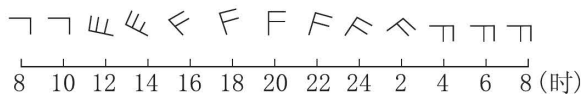
(3)简要说明湖盐化工对死海及周边生态环境的不利影响。(6分)

第80练 大气与环境

(时间:30分钟)

一、选择题

武夷山是我国重要的茶叶产地,山谷风引起的云雾能够减少日照,提升茶叶品质。下图示意2019年8月24日武夷山山区气象站记录的山谷风风向变化。完成1~2题。



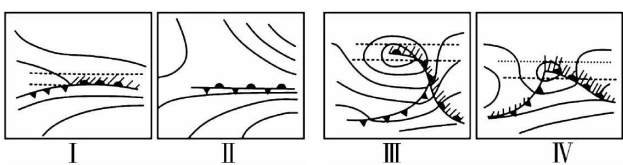
1. 该日武夷山山区气象站记录的谷风出现的时间和风向大致是 ()

- A. 3时前后、东风 B. 11时前后、西北风
C. 18时前后、北风 D. 24时前后、东北风

2. 武夷山茶农多将茶树种植在坡地,原因是与坡地相比,谷底 ()

- A. 白天多上升气流
B. 夜晚多下沉气流
C. 夜晚多上升气流
D. 白天多下沉气流

地面气旋一般和锋面联系在一起,即锋面气旋,常出现在我国北方地区。根据挪威学派经典天气学中的锋面气旋模型,可将锋面气旋发展划分为四个阶段。挪威学派认为气旋产生于东西向倒槽中的静止锋上,在静止锋波动的拐点上形成气旋中心,气旋加深过程中冷锋东移和南下,气旋的扇形暖区则缩小直至消失,被抬升到高空中,最后形成锢囚锋。下图为锋面气旋发展示意图,其中实线为等压线,阴影为云区。完成3~4题。



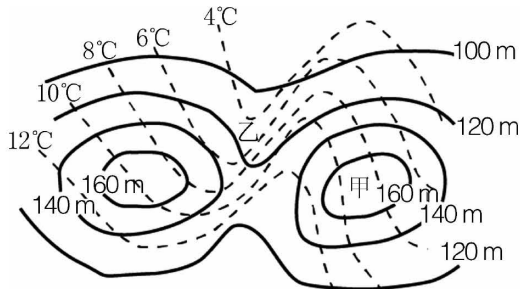
3. 锋面气旋的发展过程为 ()

- A. I—II—III—IV B. II—I—IV—III
C. III—IV—I—II D. IV—I—II—I

4. 下列关于锋面气旋的说法,正确的是 ()

- A. 北侧冷气团常成云致雨
B. 产生于高压脊和低压槽
C. 在我国主要发生于春季
D. 暖锋移动速度快于冷锋

读某地区1000百帕等压面上的等高线、等温线分布图,此时乙地出现强降水天气,完成5~6题。



图例
—— 1000百帕等压面上的等高线
---- 1000百帕等压面上的等温线

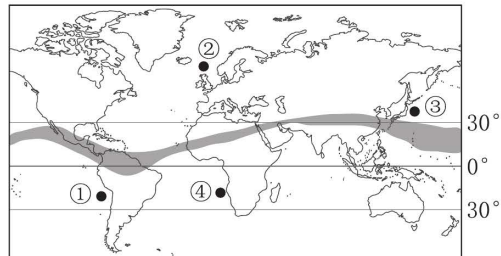
5. 关于甲地近地面气流运动状况,正确的是 ()

- A. 顺时针辐散下沉 B. 顺时针辐合上升
C. 逆时针辐散下沉 D. 逆时针辐合上升

6. 若此时控制乙地的天气系统过境后短时间内,乙地可能出现的变化是 ()

- A. 气温升高,气压降低
B. 电闪雷鸣,湿度较大
C. 气温降低,气压升高
D. 寒风彻骨,阴雨连绵

下图为全球部分渔场和某月热带辐合带位置示意图。据此完成7~9题。



图例 热带辐合带 • 渔场

7. 图示月份为 ()

- A. 1月 B. 4月
C. 7月 D. 10月

8. 热带辐合带在亚洲东部纬度位置偏高的原因是受 ()

- A. 季风活动影响 B. 台湾暖流影响
C. 东南信风影响 D. 蒙古高压影响

9. 图中渔场形成原因相同的是 ()

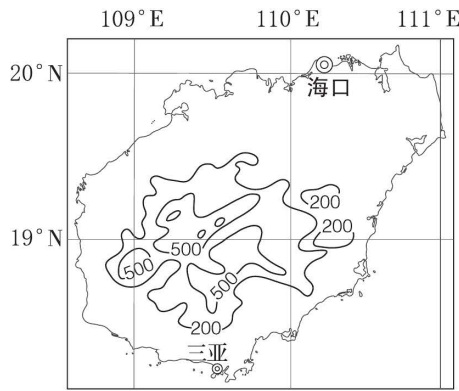
- A. ①② B. ②③ C. ①③ D. ②④

二、非选择题

10. (16分)阅读图文材料,完成下列要求。

雷暴是热带和温带地区的局地性强对流天气,伴随雷击、闪电、强风、强降水或冰雹。雷暴的持续时间通常不超过2小时,其生命周期包括积云、成熟和消散三个阶段。

雷暴的发生除满足丰富的水汽、极不稳定的大气和强烈的抬升等条件外,还与地表下垫面的复杂程度密切相关。雷暴天气作为中小尺度的强对流天气,对其准确预报是一大难题。海南岛雷暴天气发生极为频繁,夏季的白天多发,但三亚市全年白天雷暴只占38%。下图为海南岛等高线地形图。



图例 ◎◎ 城市 ~200~ 等高线(m)

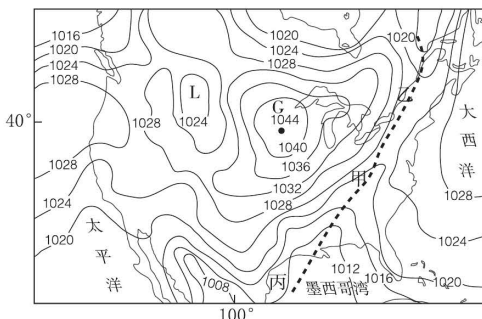
- (1)从大气运动角度分析海南岛雷暴多发的原因。(6分)

- (2)从大气运动角度推测三亚市夜间雷暴多发的季节并说明原因。(4分)

- (3)说明雷暴天气难预报的原因。(6分)

11. (28分)阅读图文材料,完成下列要求。

继2021年2月打破百年纪录的暴雪灾害发生后,2022年2月初,强大的冬季风暴席卷了北美中部,美国多地再次遭遇暴风雪,冬季风暴路线横跨近3000千米。下图为北美局部地区2022年2月3日7:00(东部时间)海平面气压分布图(单位:百帕)。



- (1)判断图中甲锋面的类型,并说明理由。(6分)

- (2)推测L处气压值远低于G处气压值的原因。(8分)

- (3)2月美国中部地区暴雪天气频繁,试对此作出合理的解释。(8分)

- (4)对比分析甲锋面过境时,乙、丙两地天气状况的差异。(6分)

